

10. Karamanlidis, D. The Linear Acceleration Time Integration Method revisited [Text] / D. Karamanlidis // Journal of Sound and Vibrations. – 1987. – Vol. 115, Issue 3. – P. 379–385. doi: 10.1016/0022-460x(87)90284-7
11. Сахаров, О. С. Исследование устойчивости осесимметричных оболочек при больших перемещениях с учетом физической нелинейности [Текст] / О. С. Сахаров, А. И. Гуляр, В. Н. Кислюкий // Проблемы прочности. – 1974. – № 6. – С. 42–47.
12. Теннисон, Р. С. Приложение кубического условия прочности к анализу разрушения слоистых композитов [Текст] / Р. С. Теннисон, Г. Э. Варрам, Г. Эллиот. – В кн. Прочность и разрушение композитных материалов: Зинатне, 1983. – С. 127–135.
13. Karamanlidis, D. A simple and efficient curved beam element for the linear and non-linear analysis of laminated composite structures [Text] / D. Karamanlidis // Computers and structures. – 2007. – Vol. 29, Issue 4. – P. 623–632. doi: 10.1016/0045-7949(88)90372-0
14. Bathe, K. J. Stability and accuracy of direct integration methods [Text] / K. J. Bathe, E. L. Wilson // Earthquake engineering and structural dynamics. – 1973. – Vol. 1, Issue 3. – P. 283–291. doi: 10.1002/eqe.4290010308
15. Nickell, R. E. On the stability of approximation operators in problem of structural dynamics [Text] / R. E. Nickell // International Journal of Solids and Structures. – 1971. – Vol. 7, Issue 3. – P. 499–520. doi: 10.1016/0020-7683(71)90028-x
16. Сахаров, О. С. Чисельне моделювання процесів руйнування захисної оболонки контура АЕС в результаті падіння на неї літака [Текст] / О. С. Сахаров, О. В. Гондляр, А. О. Чемерис // Вісті академії інженерних наук України. – 2005. – № 1. – С. 17–23.
17. Сахаров, О. С. САПР. Застосування програмного комплексу ВЕСНА в розрахунках процесів і обладнання з врахуванням термосилових навантажень - Навчальний посібник [Текст] / О. С. Сахаров, О. В. Гондляр, В. І. Сівецький, В. Ю. Щербина. – К.: Т«ЕКМО», 2008. – С. 128–155.
18. Сахаров, О. С. САПР. Інтегрована система моделювання технологічних процесів і розрахунку обладнання хімічної промисловості [Текст] / А. С. Сахаров, А. В. Гондляр, В. І. Сівецький, В. Ю. Щербина. – К.: ТОВ «Поліграф Консалтинг», 2006. – С. 108–126.

Дана стаття присвячена вирішенню задачі про вільне коливання поздовжньо підкріпленої ортотропної циліндричної оболонки з в'язкою рідиною за допомогою варіаційного принципу. На основі варіаційного принципу Остроградського-Гамільтона побудовано частотне рівняння коливань поздовжньо підкріпленої ортотропної циліндричної оболонки, заповненої в'язкою рідиною і реалізовано чисельно. Діючі поверхневі навантаження з боку рідини на поздовжньо підкріплену циліндричну оболонку визначаються з рішень лінеаризованого рівняння Нав'є-Стокса

Ключові слова: коливання, оболонка, ідеальна рідина, напруга, в'язка рідина, підкріплення, принцип варіації

Данная статья посвящена решению задачи о свободном колебании продольно подкрепленной ортотропной цилиндрической оболочки с вязкой жидкостью с помощью вариационного принципа. На основе вариационного принципа Остроградского-Гамильтона, построено частотное уравнение колебаний продольно подкрепленной ортотропной цилиндрической оболочки, заполненной вязкой жидкостью и реализовано численно. Действующие поверхностные нагрузки со стороны жидкости на продольно подкрепленную цилиндрическую оболочку определяются из решений линеаризованного уравнения Навье-Стокса

Ключевые слова: колебания, оболочка, идеальная жидкость, напряжение, вязкая жидкость, подкрепление, принцип вариации

УДК 539.2

DOI: 10.15587/1729-4061.2015.44393

ИССЛЕДОВАНИЕ КОЛЕБАНИЯ ПРОДОЛЬНО ПОДКРЕПЛЕННОЙ ОРТОТРОПНОЙ ЦИЛИНДРИЧЕСКОЙ ОБОЛОЧКИ С ВЯЗКОЙ ЖИДКОСТЬЮ

А. И. Сейфуллаев

Кандидат физико-математических наук*

E-mail: a.seyfullayev@yahoo.com

К. А. Новрузова

Диссертант*

Отдел «Волновая динамика»

E-mail: konul.novruzova1978@gmail.com

*Институт Математики и Механики

Национальной академии наук Азербайджана

ул. Б. Вахабзаде, 9, г. Баку,

Азербайджан, AZ 1143

1. Введение

Исследование колебательных движений и переходных процессов в деформируемых оболочках с протека-

ющей либо покоящейся в них вязкой жидкостью имеет большое практическое значение. Конструкции в виде пластин и оболочек, взаимодействующих с упругой (жидкой) средой, нашли широкое применение в тех-

нике и строительстве. В частности, к такой расчетной схеме приводятся задачи, возникающие при проектировании подземных и подводных емкостей и трубопроводов, обделок тоннелей метро и капитальных горных выработок, аэродромных покрытий и ледяного покрова, элементов твердотопливных двигателей и т. п.

Изучение колебательных процессов имеет большое значение для современной техники. Развитие ее связано с ростом скоростей движения, давлений, температур, с непрерывным возрастанием мощности и быстроходности машин и механизмов, увеличением аэродинамического воздействия потока протекающей среды. Вместе с тем, наблюдается стремление к лучшему использованию несущей способности конструкций и уменьшению их веса. Это влечет за собой увеличение воздействия динамических нагрузок на элементы машин и сооружений.

Развитие современной техники все больше базируется на достижениях фундаментальных и прикладных научных исследований. Инженерные сооружения и конструкции усложняются, поэтому их проектирование трудно представить без предварительного подробного расчета поведения этих конструкций или их элементов в тех или иных условиях.

Инженерная практика авиастроения обусловила необходимость научного исследования вопросов взаимодействия упругих элементов конструкций (стержней, пластин, оболочек) с потоками жидкости.

На исследование различных видов колебаний во всем мире затрачиваются большие средства. Основной целью этих исследований является выяснение вопроса о роли колебательных процессов для проектируемого объекта. В случаях, когда колебания желательны, исследования ведутся с целью их регулирования. В случаях, когда они нежелательны, задача состоит в выяснении причин колебаний и их предотвращении. Один из важных технических вопросов – это вопрос определения срока и частот свободных колебаний конструкций.

2. Анализ литературных данных и постановка проблемы

Поведение деформируемых гладких оболочек с протекающей жидкостью рассмотрено в монографии [1]. Исследованиям свободных колебаний продольно подкрепленной и подкрепленной перекрестными системами ребер и нагруженной осевыми сжимающими силами изотропных цилиндрических оболочек, заполненной средой, посвящены работы [2, 3]. С применением вариационного принципа построено частотное уравнение колебаний подкрепленной изотропно цилиндрической оболочки, контактирующей со средой, и реализовано численно. Свободные колебания ребристых изотропных цилиндрических оболочек, заполненных идеальной жидкостью, при осевом сжатии рассмотрено в работе [4]. Причем подкрепление оболочек проводилось продольно, поперечно и перекрестной системой ребер. Аналогичная задача, рассмотренная в [4], с учетом трений между контактной поверхностью оболочки и среды, исследована в работе [5]. В [6] исследована задача о вынужденных осесимметричных колебаниях подкрепленной и нагруженной осевыми сжимающими силами изотропной цилиндрической

оболочки, заполненной идеальной жидкостью. Нелинейные волновые процессы в микроструктурных твердых телах рассматривались в работах [7–11].

Как следует из приведенного обзора, практически отсутствуют работы, посвященные свободным колебаниям в бесконечной упругой твердой среде ребристых оболочек с протекающей сжимаемой вязкой жидкостью. С целью повышения прочности, они в последнее время широко применяются в строительстве и технике, в частности при проектировании магистральных трубопроводов. Поэтому исследование одной из главных динамических характеристик упругой системы – частоты собственных колебаний ребристых цилиндрических оболочек, заполненной вязкой жидкостью имеет большое практическое значение.

3. Цель и задачи исследования

Целью исследования является нахождение частоты собственных колебаний ребристых цилиндрических оболочек, заполненной вязкой жидкостью и изучение влияния на них различных механических и физических параметров материала оболочки и жидкости.

Для достижения поставленной цели были поставлены следующие задачи:

- исследование влияния вязкости жидкости на процесс колебаний рассмотренной конструкции;
- исследование влияния свойства анизотропии материала оболочки на процесс колебаний рассмотренных конструкций;
- исследование количества продольных ребер на процесс колебаний рассмотренных конструкций.

4. Постановка задачи исследования колебания продольно подкрепленной ортотропной цилиндрической оболочки с вязкой жидкостью

Задача о свободном колебании продольно подкрепленной ортотропной цилиндрической оболочки с вязкой жидкостью решалась с помощью вариационного принципа. На основе вариационного принципа Остроградского-Гамильтона, строилось частотное уравнение колебаний продольно подкрепленной ортотропной цилиндрической оболочки, заполненной вязкой жидкостью и реализовано численно. Действующие поверхностные нагрузки со стороны жидкости на продольно подкрепленную цилиндрическую оболочку определялись из решений линеаризованного уравнения Навье-Стокса.

Ребристая оболочка рассматривается как система, состоящая из собственной оболочки и жестко с ней соединенных по линиям контакта продольных ребер. Принимается, что напряженно-деформированное состояние обшивки можно полностью определить в рамках линейной теории упругих тонких оболочек, основанной на гипотезах Кирхгофа-Лява, а для расчета ребер применима теория криволинейных стержней Кирхгофа-Клебша. Система координат выбрана так, что координатные линии совпадают с линиями главных кривизн срединной поверхности обшивки. При этом предполагается, что ребра размещены вдоль координатных линий, а их края, как и края обшивки, лежат в одной координатной плоскости.

Деформированное состояние обшивки может быть определено через три составляющих перемещений ее срединной поверхности u, ϑ и w .

Относительно внешних воздействий предполагается, что действующие на ребристую оболочку поверхностные нагрузки со стороны вязкой жидкости, могут быть сведены к составляющим q_x, q_y и q_z , приложенным к срединной поверхности оболочки.

Дифференциальные уравнения движения и естественные граничные условия для продольно подкрепленной ортотропной цилиндрической оболочки с вязкой жидкостью получим на основе вариационного принципа Остроградского-Гамильтона. Для этого предварительно запишем потенциальную и кинетическую энергии системы.

Потенциальная энергия упругой деформации ортотропной цилиндрической оболочки имеет вид:

$$\begin{aligned} \Pi_0 = & \frac{hR}{2} \int_{x_1}^{x_2} \int_{y_1}^{y_2} \left\{ B_{11} \left(\frac{\partial u}{\partial x} \right)^2 - 2(B_{11} + B_{12}) \frac{w}{R} \frac{\partial u}{\partial x} + B_{11} \frac{\partial u}{\partial x} \left(\frac{\partial w}{\partial x} \right)^2 - (B_{11} + B_{12}) \frac{w}{R} \left(\frac{\partial w}{\partial x} \right)^2 + \right. \\ & + \frac{B_{11}}{4} \left(\frac{\partial w}{\partial x} \right)^4 + \frac{w^2}{R^2} (B_{11} + 2B_{12} + B_{22}) + B_{22} \left(\frac{\partial \vartheta}{\partial y} \right)^2 - (B_{12} + B_{22}) \frac{w}{R} \left(\frac{\partial w}{\partial y} \right)^2 - \\ & - 2(B_{12} + B_{22}) \frac{w}{R} \frac{\partial \vartheta}{\partial y} + B_{22} \frac{\partial \vartheta}{\partial y} \left(\frac{\partial w}{\partial y} \right)^2 + B_{22} \frac{1}{4} \left(\frac{\partial w}{\partial y} \right)^4 + 2B_{12} \frac{1}{R} \frac{\partial u}{\partial x} \frac{\partial \vartheta}{\partial y} + \\ & \left. + B_{12} \frac{\partial u}{\partial x} \left(\frac{\partial w}{\partial y} \right)^2 + B_{12} \frac{\partial \vartheta}{\partial y} \left(\frac{\partial w}{\partial x} \right)^2 + B_{12} \frac{1}{2R} \left(\frac{\partial w}{\partial x} \right)^2 \left(\frac{\partial w}{\partial y} \right)^2 \right\} dx dy, \end{aligned} \quad (1)$$

где $B_{11} = \frac{E_1}{1 - \nu_1 \nu_2}$; $B_{22} = \frac{E_2}{1 - \nu_1 \nu_2}$; $B_{12} = \frac{\nu_2 E_1}{1 - \nu_1 \nu_2} = \frac{\nu_1 E_2}{1 - \nu_1 \nu_2}$,

R – радиус срединной поверхности оболочки, h – толщина оболочки, u, ϑ, w – составляющие перемещений точек срединной поверхности оболочки.

Выражения для потенциальной энергии упругой деформации i -го продольного ребра таковы [7]:

$$\Pi_i = \frac{1}{2} \int_{x_i} \left[\tilde{E}_i F_i \left(\frac{\partial u_i}{\partial x} \right)^2 + \tilde{E}_i J_{yi} \left(\frac{\partial^2 w_i}{\partial x^2} \right)^2 + \tilde{E}_i J_{zi} \left(\frac{\partial^2 \vartheta_i}{\partial x^2} \right)^2 + \tilde{G}_i J_{kpi} \left(\frac{\partial \phi_{kpi}}{\partial x} \right)^2 \right] dx. \quad (2)$$

В выражениях (2) и (3) x_1, x_2, y_1, y_2 – координаты криволинейных и прямолинейных краев оболочки; $F_i, J_{zi}, J_{yi}, J_{kpi}$ – площадь и моменты инерции поперечного сечения i -го продольного стержня соответственно относительно оси Oz и оси, параллельной оси Oy и проходящей через центр тяжести сечения, а также его момент инерции при кручении; \tilde{E}_i, \tilde{G}_i – модули упругости и сдвига материала i -го продольного стержня соответственно.

Потенциальная энергия внешних поверхностных нагрузок, действующих со стороны вязкой жидкости, приложенных к обшивке, определяется как работа, совершаемая этими нагрузками при переводе системы из деформированного состояния в начальное недеформированное и представляется в виде:

$$A_0 = - \int_{x_1}^{x_2} \int_{y_1}^{y_2} (q_x u + q_y \vartheta + q_z w) dx dy. \quad (3)$$

Полная потенциальная энергия системы равно сумме потенциальных энергий упругих деформаций

оболочки и продольных ребер, а также потенциальных энергий всех внешних нагрузок, действующих со стороны вязкой жидкости:

$$\Pi = \Pi_0 + \sum_{i=1}^{k_i} \Pi_i + A_0 + \sum_{i=1}^{k_i} A_i. \quad (4)$$

Кинетические энергии оболочки и продольных ребер записываются в виде

$$K_0 = \rho h \int_{x_1}^{x_2} \int_{y_1}^{y_2} \left[\left(\frac{\partial u}{\partial t} \right)^2 + \left(\frac{\partial \vartheta}{\partial t} \right)^2 + \left(\frac{\partial w}{\partial t} \right)^2 \right] dx dy, \quad (5)$$

$$K_i = \rho_i F_i \int_{x_i} \left[\left(\frac{\partial u_i}{\partial t} \right)^2 + \left(\frac{\partial \vartheta_i}{\partial t} \right)^2 + \left(\frac{\partial w_i}{\partial t} \right)^2 + \frac{J_{kpi}}{F_i} \left(\frac{\partial \phi_{kpi}}{\partial t} \right)^2 \right] dx.$$

Здесь t – временная координата, ρ, ρ_i соответственно плотность материалов, из которых изготовлена оболочка, i -й продольный стержень.

Кинетическая энергия продольно подкрепленной оболочки

$$K = K_0 + \sum_{i=1}^{k_i} K_i. \quad (6)$$

Уравнения движения ребристой оболочки получены на основе принципа стационарности действия Остроградского-Гамильтона:

$$\delta W = 0, \quad (7)$$

где $W = \int_{t'}^{t''} \tilde{L} dt$ – действие по Гамильтону, $\tilde{L} = K - \Pi$ –

функция Лагранжа, t' и t'' – заданные произвольные моменты времени.

В предположении, что оболочка усилена бесконечно большим числом ребер, предельным переходом $k_i \rightarrow \infty$ и с учетом операции варьирования и дифференцирования перестановочны, уравнение (7) можно привести к виду

$$\begin{aligned} & \left[(a_1 + \gamma_c^{(1)}) \frac{\partial^2}{\partial \xi^2} + \frac{\partial^2}{\partial \theta^2} \right] u + (1 + a_{12}) \frac{\partial^2 \vartheta}{\partial \xi \partial \theta} - \\ & - \left(a_{12} \frac{\partial}{\partial \xi} + \delta_c^{(1)} \frac{\partial^3}{\partial \xi^3} \right) w - \rho_1 \frac{\partial^2 u}{\partial t_1^2} = \frac{R^2 q_x}{G_{12} h}, \\ & (1 + a_{12}) \frac{\partial^2 u}{\partial \xi \partial \theta} + a_2 \frac{\partial^2 \vartheta}{\partial \theta^2} - a_2 \frac{\partial w}{\partial \theta} - \frac{\partial^2 \vartheta}{\partial t_1^2} = \frac{R^2 q_y}{G_{12} h}, \end{aligned} \quad (8)$$

$$\begin{aligned} & - \left(a_{12} \frac{\partial}{\partial \xi} + \delta_c^{(1)} \frac{\partial^3}{\partial \xi^3} \right) u - a_2 \frac{\partial \vartheta}{\partial \theta} + a_2 w + a^2 \times \\ & \times \left[a_1 \frac{\partial^4}{\partial \xi^4} + 2(a_{12} + 2) \frac{\partial^4}{\partial \xi^2 \partial \theta^2} + \right. \\ & \left. + a_{12} \frac{\partial^4 w}{\partial \theta^4} + \eta_c^{(1)} \frac{\partial^4}{\partial \xi^4} \right] w + \rho_1 \frac{\partial^2 w}{\partial t_1^2} = \frac{R^2}{G_{12} h} q_z. \end{aligned}$$

Здесь,

$$a^2 = \frac{h^2}{12R^2}, \bar{\rho}_i = \frac{\rho_i}{\rho}, \Delta = \frac{\partial^2}{\partial \xi^2} + \frac{\partial^2}{\partial \theta^2},$$

$$L_1 = x_2 - x_1, \xi = \frac{x}{R},$$

$$\gamma_c^{(1)} = \frac{\tilde{E}_i}{E} = (1 - v^2) \tilde{\gamma}_c^{(1)},$$

$$\eta_c^{(1)} = \frac{\tilde{E}_i (J_{yc} + h^2 F_i)}{2\pi R^3 h E} (1 - v^2), \rho_1 = 1 + \bar{\rho}_i \gamma_c^{(1)},$$

$$a_i = \frac{E_i}{G_{12} (1 - v_{12} v_{21})}; a_{12} = a_1 v_{21} = a_2 v_{12};$$

$$\gamma_c^{-(1)} = \frac{\tilde{E}_i k}{2\pi R h}, \delta_c^{(1)} = \frac{h_c}{R} \gamma_c^{-(1)}, \theta = \frac{y}{R},$$

$$t_1 = \omega_0 t, \omega_0 = \sqrt{\frac{G_{12}}{(1 - v^2) \rho R^2}}, \omega_1 = \omega / \omega_0.$$

Поверхностные нагрузки q_x, q_y и q_z , действующие со стороны вязкой жидкости на продольно подкрепленную оболочку, определяются из решений линейризованного уравнения Навье-Стокса:

$$\rho_0 \frac{\partial \tilde{\vartheta}}{\partial t} = -\text{grad} p - \frac{\bar{\mu}}{3\rho_0 a^2} \text{grad} \left(\frac{\partial p}{\partial t} \right) + \bar{\mu} \nabla^2 \tilde{\vartheta}, \tag{9}$$

где $\bar{\mu}$ – динамический коэффициент вязкости, p – давление в некоторой точке жидкости, ρ_0 – плотность жидкости, a – скорость звука в жидкости, ∇^2 – оператор Лапласа, $\tilde{\vartheta} (\tilde{\vartheta}_x, \tilde{\vartheta}_y, \tilde{\vartheta}_z)$ – вектор скорости произвольной точки жидкости.

На контактной поверхности оболочка – вязкая жидкость выполняется ($r=R$):

$$\tilde{\vartheta}_x = \frac{\partial u}{\partial t}, \tilde{\vartheta}_y = \frac{\partial v}{\partial t}, \tilde{\vartheta}_z = \frac{\partial w}{\partial t}, \tag{10}$$

$$q_x = -\sigma_{rx}, \quad q_\theta = -\sigma_{r\theta}, \quad q_z = -p. \tag{11}$$

где силы вязкости определяются равенствами

$$\sigma_{rx} = \bar{\mu} \left(\frac{\partial \tilde{\vartheta}_z}{\partial x} + \frac{\partial \tilde{\vartheta}_x}{\partial z} \right), \quad \sigma_{r\theta} = \bar{\mu} \left(\frac{\partial \tilde{\vartheta}_z}{\partial y} + \frac{\partial \tilde{\vartheta}_y}{\partial z} \right). \tag{12}$$

Уравнение (9) с помощью уравнения неразрывности и уравнения состояния приводит к уравнению относительно p :

$$\frac{1}{a^2} \frac{\partial^2 p}{\partial t^2} = \nabla^2 p + \frac{4}{3} \frac{\bar{\mu}}{\rho_0 a^2} \frac{\partial p}{\partial t}. \tag{13}$$

Далее рассматриваются шарнирно опертые оболочки, т. е. при $\xi=0$ и $\xi=\xi_1$ ($\xi_1=L_1/R$) выполняются следующие граничные условия:

$$\tilde{\vartheta} = w = 0, \quad T_1 = M_1 = 0.$$

Компоненты вектора перемещений точек срединной поверхности оболочки ищем в виде

$$\begin{aligned} u &= A \cos n\theta \cos \frac{m\pi}{\xi_1} \xi \sin \omega t; \quad \vartheta = B \sin n\theta \sin \frac{m\pi}{\xi_1} \xi \sin \omega t; \\ w &= C \cos n\theta \sin \frac{m\pi}{\xi_1} \xi \sin \omega t, \end{aligned} \tag{15}$$

где A, B, C – неизвестные постоянные, ω – искомая частота.

Решение уравнение (13), после разделение переменных имеет вид:

$$p = p_0 J(\lambda r) \cos n\theta \sin \frac{m\pi}{\xi_1} \xi \sin \omega t. \tag{16}$$

Используя (16) и (9), можно определить компоненты скорости в жидкости и по формулам (12) силы вязкости.

Дополняя контактными условиями (10), (11) систем уравнений движения оболочки (8), жидкости (9) приходим к контактной задаче о колебаниях ортотропной оболочки, подкрепленной продольными ребрами и заполненной вязкой жидкостью. Другими словами, задача о колебаниях подкрепленной продольными ребрами ортотропной оболочки с вязкой жидкостью сводится к совместному интегрированию уравнений теории оболочек, жидкости при выполнении указанных условий на поверхности их контакта.

Используя (8), (10)–(12), (15), (16) задача сводится к однородной системе линейных алгебраических уравнений третьего порядка

$$a_{i1} u_0 + a_{i2} v_0 + a_{i3} w_0 = 0 \quad (i=1,2,3). \tag{17}$$

Элементы a_{i1}, a_{i2}, a_{i3} ($i=1,2,3$) имеют громоздкий вид, поэтому здесь не приводятся. Нетривиальное решение системы линейных алгебраических уравнений (17) третьего порядка возможно лишь в случае, когда ω_1 – корень ее определителя. Определение ω_1 сводится к трансцендентному уравнению, так как ω_1 входит в аргументы функции Бесселя J_n :

$$\det \| a_{ij} \| = 0. \tag{18}$$

Отметим, что при $\bar{\mu}=0$ уравнение (18) переходит к частотному уравнению свободных колебаний продольно подкрепленной ортотропной цилиндрической оболочки, заполненной идеальной жидкостью.

Рассмотрим некоторые результаты вычислений, выполненных исходя из приведенных выше зависимостей с помощью ЭВМ.

Для геометрических и физических параметров, характеризующих материалы оболочки, жидкости и продольных стержней, были приняты:

$$E_i = 6,67 \cdot 10^9 \text{ Н/м}^2; \rho = \rho_c = 7800 \text{ кг/м}^3;$$

$$J_{yc} = 5,1 \text{ мм}^4; h_c = 1,39 \text{ мм}, \rho_0 / \rho = 0,105.$$

$$\frac{J_{y1}}{2\pi R^3 h} = 0,8289 \cdot 10^{-6}; \frac{J_{z1}}{2\pi R^3 h} = 0,13 \cdot 10^{-6};$$

$$\frac{J_{kpi}}{2\pi R^3 h} = 0,5305 \cdot 10^{-6}.$$

$$R=0,16 \text{ м}; h=0,00045 \text{ м}; v_2 = 0,19; v_1 = 0,11; L_1=0,8 \text{ м}.$$

Результаты счета представлены на рис. 1. В нем приведены зависимость параметра частоты от числа продольных стержней для различных отношений модулей упругости. Результаты расчетов показывают, что учет вязкости материала жидкости приводит к снижению частот собственных колебаний системы по сравнению с тем случаем, когда жидкость рассматривается как идеальная. Кроме того, с увеличением отношений $\frac{E_1}{E_2}$ частоты собственных колебаний системы

увеличиваются. С увеличением количества продольных ребер, частоты собственных колебаний системы сначала увеличиваются, а затем, при определенных значениях k_1 , начинают уменьшаться. Это объясняется тем, что при увеличении k_1 влияние инерционных действий стержней на процесс колебаний системы становится существенным.

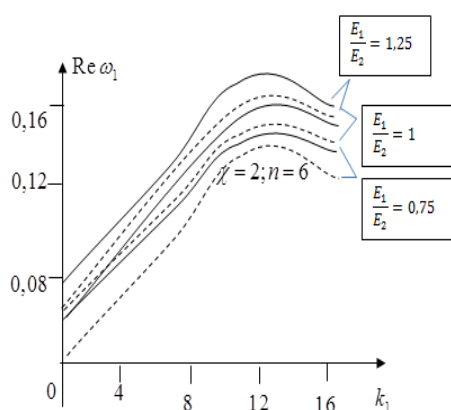


Рис. 1. Зависимость параметра частоты колебаний от числа продольных стержней. Штриховая линия – вязкая жидкость; сплошная линия – отсутствие вязкости

5. Выводы

Результаты счета показывает, что учет вязкости материала жидкости приводит к снижению частот собственных колебаний системы по сравнению, когда жидкость идеальная. С увеличением отношений $\frac{E_1}{E_2}$

частоты собственных колебаний системы увеличиваются. С увеличением количества продольных ребер, частоты собственных колебаний системы сначала увеличиваются, а затем, при определенных значениях k_1 , начинают уменьшаться.

6. Благодарности

Работа выполнена при финансовой поддержке Президиума Национальной Академии Наук Азербайджана – 2015.

Литература

1. Вольмир, А. С. Оболочки в протоколе жидкости и газа. Задачи гидроупругости. [Текст] / А. С. Вольмир. – Москва: Наука, 1979. – 320 с.
2. Suleymanova, S. G. Free vibrations of a filled cylindrical shell longitudinally strengthened and loaded with axial contracting forces [Text] / S. G. Suleymanova // Proceeding of IMM of Azerbaijan. – 2007. – Vol. XXVII. – P. 135–140.
3. Латифов, Ф. С. Задача о свободных колебаниях усиленных перекрестной системой ребер и нагруженной осевыми сжимающими силами цилиндрических оболочек, заполненной средой [Текст] / Ф. С. Латифов, С. Г. Сулейманова // Механика Машин, Механизмов и Материалов. – 2009. – № 3. – С. 59–62.
4. Латифов, Ф. С. Свободные колебания ребристых цилиндрических оболочек, заполненных жидкостью, при осевом сжатии [Текст] / Ф. С. Латифов, А. А. Алиев // Механика Машин, Механизмов и Материалов. – 2009. – № 2. – С. 61–62.
5. Латифов, Ф. С. Свободные колебания подкрепленной перекрестной системой ребер цилиндрических оболочек с наполнителем, при осевом сжатии и с учетом трения. [Текст] / Ф. С. Латифов, И. М. Джафарова // Естественные науки и техники. – 2009. – № 5(43). – С. 38–44.
6. Латифов, Ф. С. Задача о вынужденных осесимметричных колебаниях подкрепленной и нагруженной осевыми сжимающими силами цилиндрической оболочки, заполненной жидкостью [Текст] / Ф. С. Латифов, О. Ш. Салманов // Международный научно-технический журнал. – 2008. – № 4(5). – С. 45–48.
7. Латифов, Ф. С. Колебания поперечно подкрепленных ортотропных цилиндрических оболочек, с протекающей жидкостью, в среде [Текст] / Ф. С. Латифов, Р. А. Искендеров, С. Б. Микаилов // Проблемы вычислительной механики и прочности конструкций. – 2013. – Вып. 21. – С. 132–139.
8. Амро, И. Я. Теория ребристых оболочек. Методы расчета оболочек [Текст] / И. Я. Амро, В. А. Заруцкий. – Методы расчета оболочек. – Киев: Наукова думка, 1980. – 367 с.
9. Cascaval, R. C. Variable coefficient KDV equations and waves in elastic tubes [Text] / R. C. Cascaval // Lecture Notes in pure and appl. Mach. Evolutions. – 2003. – P. 12.
10. Comic, S. Effective equations modelling the flow of a viscous incompressible fluid through a long elastic tube arising in the study of blood flow through small arteries [Text] / S. Comic, A. Mikeli // SIAMJ. Appl. Dinam. Systems. – 2003. – Vol. 47, Issue 3–34. – P. 251–276.
11. Demiray, H. On same nonlinear waves in fluid-filled viscoelastic tubes: Weakly dispersive case [Text] / H. Demiray // Communications in Nonlinear Science and Numerical Simulation. – 2005. – Vol. 10, Issue 4. – P. 425–440. doi: 10.1016/j.cnsns.2003.08.005